

**Proceeding Series of the Brazilian Society of Computational and Applied Mathematics**

---

## Estimativa de Parte Relevante da Fronteira da Região de Estabilidade usando Função Energia Generalizada

Yuri C. S. Ribeiro <sup>1</sup>

Escola de Engenharia de São Carlos, USP, São Carlos, SP

Departamento de Pesquisa e Desenvolvimento, Tecumseh do Brasil Ltda., São Carlos, SP

Luís F. C. Alberto <sup>2</sup>

Escola de Engenharia de São Carlos, USP, São Carlos, SP

**Resumo.** Neste trabalho, apresentamos um método para estimar parte relevante da fronteira da região de estabilidade associada a um conjunto atrativo de um sistema não linear através do uso de uma função energia generalizada. A teoria desenvolvida permite concluir que a estimativa obtida é sempre conservadora, em um certo sentido. Apresentamos um algoritmo conceitual e sua aplicação é ilustrada por meio de um exemplo.

**Palavras-chave.** Método CUEP, Funções Energia Generalizadas, Região de Estabilidade, Sistemas Elétricos de Potência, Estabilidade Transitória.

### 1 Introdução

Considere o sistema de equações diferenciais

$$\dot{x}(t) = f(x(t)), \quad (1)$$

onde  $\dot{x}(t)$  denota a derivada de  $x(t)$  com respeito a variável  $t$  e  $f : \mathbb{R}^n \rightarrow \mathbb{R}^n$  é uma aplicação de classe  $C^1$ . Denotaremos por  $t \mapsto \Phi(t, x_0)$ , a única solução de (1) satisfazendo  $\Phi(0, x_0) = x_0$ .

Um *conjunto atrativo*  $\sigma$  é um conjunto fechado e invariante que possui uma vizinhança aberta  $U$  tal que, para todo  $x_0 \in U$ , temos  $\Phi(t, x_0) \rightarrow \sigma$  quando  $t \rightarrow \infty$ , ou seja, a distância entre  $\Phi(t, x_0)$  e  $\sigma$  tende para zero à medida que  $t \rightarrow \infty$ .

O conjunto  $\omega$ -*limite* de  $x$ , denotado por  $\omega(x)$ , é o conjunto de todos os pontos  $p$  para os quais existe uma sequência de tempos  $\{t_n\}$  com  $t_n \rightarrow \infty$  e  $|\Phi(t_n, x) - p| \rightarrow 0$  quando  $n \rightarrow \infty$ .

Se  $\sigma$  é um conjunto atrativo, definimos a *região de estabilidade* de  $\sigma$  por

$$A(\sigma) = \{x \in \mathbb{R}^n : \omega(x) \subset \sigma\}.$$

A região de estabilidade de conjuntos atrativos desempenha papel fundamental no estudo do comportamento assintótico de sistemas dinâmicos. Por exemplo, no estudo da

---

<sup>1</sup>yribeiro@usp.br

<sup>2</sup>lfcAlberto@usp.br

imunização de uma população com respeito a uma dada doença (ver [8]), em controle automático de vôo (ver [3]) ou no estudo de estabilidade transitória de sistemas elétricos de potência (ver [7]).

Agora, dado um número real  $t_s > 0$ , considere um sistema regido por equações do tipo,

$$\begin{cases} \dot{x} = g(t, x) \\ x(0) = x_0 \end{cases}, \text{ onde } g(t, x) = \begin{cases} \tilde{f}(x), t \in [0, t_s] \\ f(x), t > t_s \end{cases}, \quad (2)$$

onde  $\tilde{f}$  e  $f$  são funções de classe  $\mathcal{C}^1$  de  $\mathbb{R}^n$  nele próprio.

Este tipo de modelo surge, tipicamente, no estudo do impacto de determinadas perturbações na dinâmica de um dado sistema. O sistema se encontra no estado  $x_0$  quando é submetido a uma perturbação de duração igual a  $t_s$ . Durante a perturbação, sua dinâmica é regida pelo campo de vetores  $\tilde{f}$ . Depois disso, a perturbação é removida e o sistema se comporta com dinâmica regida pela função  $f$ .

Por isso, os subsistemas  $\dot{x} = \tilde{f}(x)$  e  $\dot{x} = f(x)$  serão denominados, respectivamente, sistema *perturbado* e sistema *pós-perturbação*.

Suponha que a dinâmica do sistema pós-perturbação possua um conjunto atrativo  $\sigma$  que corresponda a um comportamento desejável para o sistema em regime permanente. Dizemos que o sistema (2) *suporta a perturbação*, quando ele evolui para  $\sigma$  após a remoção da perturbação. Para que isso ocorra, é necessário e suficiente que, no instante  $t_s$ , a solução do sistema perturbado  $\dot{x} = \tilde{f}(x)$  esteja contida na região de estabilidade  $A(\sigma)$  com respeito ao sistema pós-perturbação  $\dot{x} = f(x)$ .

A análise de estabilidade deste tipo de sistema consiste em determinar se o sistema suporta a perturbação com duração  $t_s$ . A pergunta que surge naturalmente é: como podemos determinar a máxima duração da perturbação para que o sistema ainda a suporte?

Esta pergunta pode ser respondida se pudermos detectar o instante em que a solução do sistema perturbado  $\dot{x} = \tilde{f}(x)$  intersecta a fronteira da região de estabilidade  $\partial A(\sigma)$  com respeito à dinâmica pós-perturbação. Para tanto, basta que consigamos uma estimativa para uma parte relevante de  $\partial A(\sigma)$ , ou seja, na direção da trajetória do sistema perturbado.

A necessidade de se obter tal estimativa, mais precisamente aquela que surge quando se estuda perturbações causadas por faltas em sistemas elétricos de potência, deu origem a um método chamado CUEP (ver [7]). Porém, o método CUEP está fundamentado na teoria das *funções energia* (FE) (ver [6]) e depende da existência de tal função para que possa ser aplicado ao sistema sob análise.

A existência de uma FE para um sistema tem implicações sobre o comportamento dinâmico de suas soluções. De fato, toda solução limitada converge para um ponto de equilíbrio quando o tempo tende para infinito. Consequentemente, sistemas que possuem órbitas periódicas ou soluções caóticas não admitem FE (ver [4]).

É neste contexto que o conceito de *função energia generalizada* foi introduzido em [1,2]. Embora funções energia generalizadas sejam mais fáceis de serem encontradas e possam ser admitidas por uma classe bastante geral de sistemas, é necessário encontrar resultados que deem suporte a métodos para a análise da estabilidade em sistemas que as admitem.

Neste trabalho um método para estimar partes relevantes da fronteira da região de estabilidade inspirado no método CUEP é proposto para sistemas dinâmicos que admitem função energia generalizada.

### 1.1 Funções Energia Generalizadas

Considere o sistema (1) e seja  $V : \mathbb{R}^n \rightarrow \mathbb{R}$  uma função de classe  $\mathcal{C}^2$ . Defina o conjunto

$$C = \{x \in \mathbb{R}^n : \nabla V(x) \cdot f(x) \geq 0\}. \quad (3)$$

Em [1] foi introduzida a seguinte classe de funções auxiliares.

**Definição 1.1.** *Uma função  $V : \mathbb{R}^n \rightarrow \mathbb{R}$  é dita ser uma função de energia generalizada (FEG) para o sistema (1), quando as seguintes afirmações são verdadeiras,*

**G1.** *O conjunto  $C$  é limitado;*

**G2.** *O conjunto  $C$  possui um número finito de componentes conexas;*

**G3.** *Para uma dada solução  $t \mapsto \Phi(t, x_0)$  do sistema (1), se a função  $t \mapsto V(\Phi(t, x_0))$  é limitado para  $t > 0$ , então a solução  $\Phi(t, x_0)$  também é limitada para  $t > 0$ .*

A simples existência de uma FEG tem implicações importantes sobre o comportamento das trajetórias do sistema (ver [1]). Por exemplo, toda trajetória sobre a fronteira da região de estabilidade é limitada e converge para um conjunto que intersecta a fronteira do conjunto  $C$  (ver Teorema 4.3 de [1]).

## 2 A Parte Relevante da Fronteira da Região de Estabilidade

Ao se obter uma estimativa para uma parte relevante da fronteira da região de estabilidade, é desejável que ela seja conservadora, ou seja, a solução do sistema perturbado deve intersectar a estimativa da fronteira da região de estabilidade antes de intersectar a fronteira da região de estabilidade verdadeira. Desta forma, a estimativa permite afirmar com certeza se o sistema suporta uma dada perturbação.

**Definição 2.1.** *Considere o sistema (2). Ao menor tempo  $t$  tal que  $\Phi(t, x) \in \partial A(\sigma)$  e  $\Phi(t + \varepsilon, x) \notin \overline{A(\sigma)}$  para  $\varepsilon > 0$  arbitrariamente pequeno, dá-se o nome de tempo crítico e denota-se por  $t_c$ . Além disso,  $\Phi(t_c, x)$  é chamado exit-point.*

Para garantir a existência do tempo crítico e do exit-point, é necessário supor que o ponto  $x_0$  pertença a  $A(\sigma)$  e que a trajetória do sistema perturbado se afaste de  $\sigma$  tanto quanto necessário para cruzar a fronteira de  $A(\sigma)$ . Ambas hipóteses são bastante razoáveis em diversas aplicações.

Dado um conjunto  $B \subset \mathbb{R}^n$ , definimos o conjunto

$$\mathcal{W}^s(B) = \left\{x \in \mathbb{R}^n : \overline{\Phi^+(t, x)} \cap B \neq \emptyset\right\},$$

onde  $\Phi^+(t, x)$  denota a trajetória futura de  $x$ , ou seja,  $\Phi^+(t, x) = \{\Phi(t, x), t \geq 0\}$ .

Com a notação acima, podemos enunciar os seguintes resultados.

**Teorema 2.1.** *Considere que o sistema (1) possua um conjunto atrativo  $\sigma$  e que admita uma FEG, denotada por  $V : \mathbb{R}^n \rightarrow \mathbb{R}$ . Tomando  $\Lambda = \{i \in \mathbb{N} : C_i \cap \partial A(\sigma) \neq \emptyset\}$ , tem-se*

$$\partial A(\sigma) \subset \bigcup_{i \in \Lambda} \mathcal{W}^s(C_i),$$

A demonstração deste resultado segue diretamente do Teorema 4.3 de [1].

**Teorema 2.2.** *Considere as mesmas hipóteses do Teorema 2.1 e seja  $x \in \partial A(\sigma)$ . Se  $\Phi^+(x) \cap C = \emptyset$ , então  $\omega(x) \subset C_i$ , para algum  $i \in \Lambda = \{i \in \mathbb{N} : C_i \cap \partial A(\sigma) \neq \emptyset\}$ .*

*Demonstração.* Tome  $x \in \partial A(\sigma)$ . Pela Proposição 4.2 de [1],  $\omega(x)$  é conjunto invariante não-vazio e conexo.

Por hipótese,  $\Phi^+(x) \cap C = \emptyset$  portanto  $t \mapsto V(\Phi(t, x))$  é uma função decrescente limitada por baixo (ver Proposição 4.1 de [1]). Seja  $L \in \mathbb{R}$  o limite de  $V(\Phi(t, x))$  quando  $t \rightarrow \infty$ . Uma vez que  $\omega(x)$  é invariante,  $V(\omega(x)) = L$  implicando que  $\dot{V}(\omega(x)) = 0$  e, assim,  $\omega(x) \subset C$ .

Como  $\omega(x)$  é conexo, existe uma única componente conexa  $C_i$ , tal que  $\omega(x) \subset \partial C_i$ .  $\square$

Considere o sistema (2) de tal forma que as hipóteses do Teorema 2.1 sejam satisfeitas.

Para cada  $x \in \partial A(\sigma)$ , seja  $\{C_j, j \in \Lambda_x\}$  o conjunto de todas as componentes conexas de  $C$  tais que  $C_j \cap \partial A(\sigma) \neq \emptyset$  e  $x \in \mathcal{W}^s(C_j)$ . Pelo Teorema 2.1,  $\Lambda_x \neq \emptyset$ .

Para cada  $j \in \Lambda_x$ , ou  $\omega(x) \cap C_j \neq \emptyset$  ou  $\Phi^+(x) \cap C_j \neq \emptyset$ .

Se  $\Phi^+(x) \cap C_j \neq \emptyset$ , seja  $t_j = \min\{t > 0 : \Phi(t, x) \in C_j\}$  e defina o *conjunto de controle* relativo a  $x$  como sendo a componente  $C_j$  para a qual o menor  $t_j$  ocorra. No caso em que  $\Phi^+(x) \cap C_j = \emptyset$ , pelo Teorema 2.2,  $\Lambda_x$  é um conjunto unitário. Então, o único  $C_j$  com  $j \in \Lambda_x$  é definido como o *conjunto de controle* relativo a  $x$ .

Denotaremos por  $C_x$  o conjunto de controle relativo ao ponto  $x$ .

Vejam a definição de *parte relevante* da fronteira de estabilidade neste contexto.

**Definição 2.2.** *A parte relevante da fronteira da região de estabilidade é o conjunto dos pontos de  $\partial A(\sigma)$  para os quais o conjunto de controle é o mesmo do exit-point.*

Considere  $\bar{x} \in \partial A(\sigma)$  e defina o *valor crítico de energia generalizada* por

$$K_{\bar{x}} = \min_{x \in \partial C_{\bar{x}}} V(x).$$

Note que  $V(\bar{x}) \geq K_{\bar{x}}$  para todo  $\bar{x} \in \partial A(\sigma)$ .

### 3 Algoritmo Conceitual

Para que uma estimativa da parte relevante da fronteira da região de estabilidade possa ser obtida com base nos resultados apresentados, é necessária uma forma de detectar quando a trajetória do sistema perturbado se aproxima da fronteira da região de estabilidade.

A dificuldade em se realizar tal detecção também é encontrada no método CUEP, onde é superada através de métodos computacionais (ver [5, 6]) que fornecem uma estimativa preliminar para a fronteira.

O leitor pode se perguntar: por que aplicar um método para estimar uma parte da fronteira da região de estabilidade quando, *a priori*, se precisa de uma estimativa preliminar? A resposta está nas vantagens em se obter uma estimativa conservadora. Através dela, é possível garantir se o sistema é capaz de suportar à perturbação.

Uma classe importante de sistemas em que tal estimativa inicial pode ser encontrada, é a dos sistemas quase-hamiltonianos. Neste caso, as curvas de nível da função hamiltoniana associada podem ser usadas para fornecer a estimativa inicial necessária. Ver seção 4.

Baseado nos resultados da seção 2, o seguinte algoritmo pode ser aplicado para se obter o tempo máximo em que uma perturbação pode ser aplicada a um sistema de tal forma que ele a suporte.

1. Encontre as componentes conexas do conjunto  $C$ ;
2. Integre o sistema perturbado até que a solução se aproxime da estimativa inicial da fronteira de estabilidade do conjunto atrativo  $\sigma$ . Defina este ponto como  $\bar{x}$ ;
3. Integre o sistema pós-perturbação até que a solução toque ou esteja suficientemente próxima de algum  $C_i$ . Defina este conjunto como o conjunto de controle  $C_{\bar{x}}$ .
4. Encontre o menor valor de energia na fronteira de  $C_{\bar{x}}$  e defina o valor de energia crítica  $K_{\bar{x}}$ .
5. Se a  $V(\sigma) < K_{\bar{x}}$ , então a curva de nível  $V(x) = K_{\bar{x}}$  é uma estimativa para a parte relevante da fronteira da região de estabilidade e o primeiro instante para o qual a trajetória do sistema perturbado intersecta esta curva de nível fornece uma estimativa conservadora para o tempo crítico  $t_c$ .

## 4 Exemplo

Considere a função  $H(x, y) = y^3 - y + x^2 + y^2$  e o sistema (2) com

$$f(x, y) = \left( \frac{\partial H}{\partial y}, -\frac{\partial H}{\partial x} - 0.1(y^2 + 1) \right) = (3y^2 + 2y - 1, -2x - 0.1(y^2 + 1)), \quad (4)$$

e

$$\tilde{f}(x, y) = (3y^2 + 2y - 1, -0.1(y^2 + 1)). \quad (5)$$

O retrato de fase do sistema pós-perturbação é mostrado na Figura 1. Os pontos  $p_0 = (-1/18, 1/3)$  e  $p_1 = (-1/10, -1)$  são, respectivamente, um ponto de equilíbrio assintoticamente estável e um ponto de equilíbrio do tipo sela.

Suponha que o sistema (2) esteja em estado de equilíbrio, correspondente ao ponto  $p_0$ , quando a perturbação ocorre.

Como o sistema pós-perturbação é quase-hamiltoniano, o conjunto de nível da função  $H$  ao qual pertence o ponto crítico  $x_1 = (0, -1)$  fornece uma estimativa para a fronteira

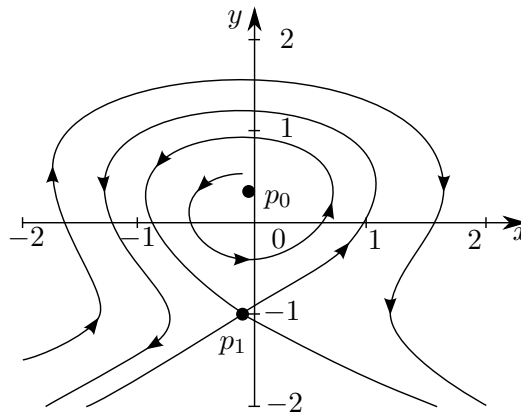


Figura 1: Retrato de fase do sistema quase-hamiltoniano definido por (4) e (5).

de estabilidade do ponto de equilíbrio assintoticamente estável  $p_0$ . Porém, a estimativa não é conservadora. A Figura 2 mostra como a estimativa obtida através da curva de nível  $H(x, y) = H(x_1)$  se compara com a fronteira da região de estabilidade verdadeira.

Agora, de posse da seguinte FEG para o sistema pós-perturbação,

$$\begin{aligned}
 V(x, y) = & 1.337x - 12.077y + 12.242x^2 - 0.803xy + 12.396y^2 + 0.683x^3 - 0.443x^2y \\
 & + 1.069xy^2 + 11.323y^3 + 0.109x^4 + 1.111x^3y + 0.459x^2y^2 + 1.7909xy^3 \\
 & + 0.064y^4 - 0.270x^5 - 1.467y^2x^3 + 0.245x^2y^3 - 1.135y^4x + 0.582y^5, \quad (6)
 \end{aligned}$$

podemos aplicar o algoritmo da seção 3, obtendo  $t_c = 2, 1$ .

A Figura 2 mostra uma comparação entre a estimativa encontrada pelo algoritmo proposto e a região de estabilidade real. Note que, embora a estimativa seja relativamente menor que a região de estabilidade real, a estimativa é conservadora, o que não ocorre utilizando a função  $H$ .

## 5 Conclusões

O método apresentado se mostra bem sucedido na obtenção de estimativas conservadoras para partes relevantes da fronteira da região de estabilidade para sistemas dinâmicos que admitem FEG. Uma vez que a classe de sistemas que admitem FEG é mais ampla do que aquela que admite função energia, acredita-se que com o surgimento de métodos como o apresentado neste trabalho, técnicas bastante eficazes e eficientes para análise de estabilidade de sistemas não lineares se tornem disponíveis para sistemas com dinâmica mais complicada.

## Agradecimentos

Os autores agradecem ao CNPq pelo suporte a este trabalho (número 305486/2013-6).

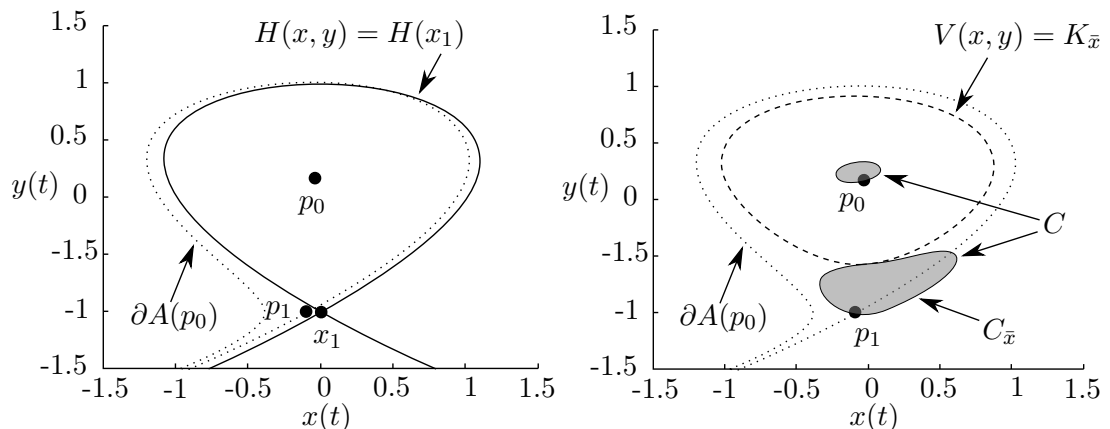


Figura 2: Comparação entre as estimativas obtidas através de um conjunto de nível de  $H$  (à esquerda) e através do algoritmo proposto (à direita).

## Referências

- [1] L. F. C. Alberto and H.-D. Chiang. Characterization of stability region for general autonomous nonlinear dynamical systems. *IEEE Transactions on Automatic Control*, 57(6):1564–1569, 2012.
- [2] L. F. C. Alberto and H.-D. Chiang. Towards development of generalized energy functions for electric power systems. *IEEE Power and Energy Society General Meeting*, pages 1–6, 2012.
- [3] A. Chakraborty, P. Seiler, and G. J. Balas. Nonlinear region of attraction analysis for flight control verification and validation. *Control Engineering Practice*, 19(4):335–345, 2011.
- [4] H.-D. Chiang. Study of the existence of energy functions for power systems with losses. *IEEE Transactions on Circuits and Systems*, 36(11):1423–1429, 1989.
- [5] H.-D. Chiang. The bcu method for direct stability analysis of electric power systems: Theory and applications. *IMA Volumes in Mathematics and Its Applications*, 64:39–39, 1995.
- [6] H.-D. Chiang. *Direct Methods for Stability analysis of Electric Power Systems*. Wiley, 2011.
- [7] H.-D. Chiang, F. F. Wu, and P. P. Varaiya. Foundations of direct methods for power system transient stability analysis. *IEEE Transactions on Circuits and Systems*, 34(2):160–173, 1987.
- [8] H. Hethcote, M. Zhién, and L. Shengbing. Effects of quarantine in six endemic models for infectious diseases. *Mathematical Biosciences*, 180:141–160, 2002.